

УДК: 539.194

РЕЗОНАНСНЫЕ ВЗАИМОДЕЙСТВИЯ КАРБОНИЛЬНЫХ КОЛЕБАНИЙ В КОЛЛАГЕНОВЫХ СТРУКТУРАХ

Е. П. Мележик, М. А. Семенов М. А.

Інститут радіофізики і електроніки НАН України, ул. Академика Проскури 12, 61085, Харків.

e-mail: urtelezhik@ths.kharkov.ua

Стаття поступила в редакцію 3 жовтня 2003 р.

Проведен расчет динамического резонансного взаимодействия карбонильных колебаний атомов в модельной коллагеновой структуре $[(\text{PRO-PRO-GLY})_10]_n$ в диполь-дипольном приближении на основании теории молекулярных экситонов. Найдено смещение частот валентных колебаний CO-групп за счет резонансного взаимодействия моментов переходов карбонильных колебаний, образования межпептидных водородных связей и водородных связей с водой. Оценен сравнительный вклад энергий водородных связей с водой, межпептидных водородных связей и других типов взаимодействия в общую энергию стабилизации структур коллагенового типа.

КЛЮЧЕВЫЕ СЛОВА: коллаген, тройная спираль, резонансное взаимодействие, диполь-дипольное приближение, теория возмущений, энергия стабилизации, инфракрасная спектроскопия.

Полоса Амид I, наиболее сильная в инфракрасных спектрах поглощения полипептидов и белков, располагается в частотном диапазоне 1620–1690 cm^{-1} и обусловлена в основном валентными колебаниями C=O – связи. Она лежит в области прозрачности тяжелой воды, что часто используется для исследования водных растворов биополимеров, поскольку эта полоса характеристична по частоте и интенсивности и весьма чувствительна к изменению структурного состояния полипептидной цепи. С помощью спектральных критериев по тонкой структуре полосы Амид I можно судить о наличии в молекуле белка спиральной, складчатой структуры, неупорядоченной конформации, а по интегральной интенсивности определять их количественное содержание [1,2]. Однако для коллагеновых белков, структура которых построена из тройной спирали, такие спектральные признаки не найдены. Известно, что для коллагенов и родственных им политрипептидов полоса Амид I имеет сложный контур и ее параметры (частота, интенсивность, полуширина) существенно зависят от аминокислотного состава, типа растворителя, агрегатного состояния и влажности. Недавно установлено, что мультикомпонентный характер полосы Амид I коллагеновых структур обусловлен гетерогенностью карбонилов и водородных связей [3].

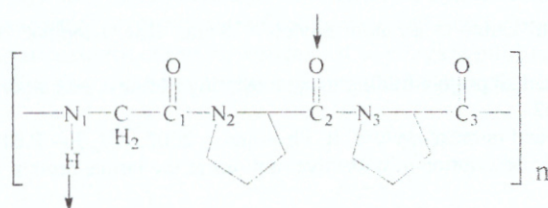


Рис. 1. Структура политрипептида ($\text{Gly}_1\text{-Pro}_2\text{-Pro}_3)_n$). Стрелками обозначена межпептидная водородная связь.

Согласно [4, 5], стабилизация тройной спирали модели коллагена ($\text{Gly}_1\text{-Pro}_2\text{-Pro}_3)_n$ достигается с помощью межпептидной водородной связи, образующейся между N_1H_1 – группой глицинового и карбонильной группой C_2O_2 пролинового остатка соседних полипептидных цепей (рис. 1).

Две другие карбонильные группы C_1O_1 и C_3O_3 образуют водородные связи с молекулами воды, которые формируют водные «мостики» между полипептидными цепями, что способствует стабилизации структуры тройной спирали

молекулы политрипептида. Тонкая структура полосы поглощения Амид I этого политрипептида, а также трипептидов с $n=4,5,\dots,10$ в дейтерированном состоянии в пленках при 100% относительной влажности и растворах состоит из трех компонент.

В соответствии с работами [3,6] низкочастотная компонента отнесена к валентным колебаниям группы атомов C_1O_1 глицинового остатка, средняя компонента – к валентным колебаниям C_2O_2 остатка пролина во втором положении и высокочастотная компонента – к колебаниям C_3O_3 пролинового остатка в третьем положении. Сходная структура данной полосы обнаружена и в природном коллагене.

Согласно модели слабо связанных осцилляторов, рассмотренной Миадзвой в рамках теории возмущений для полипептидных структур [2, 7], частота карбонильных колебаний определяется формулой

$$\nu(\delta, \delta') = \nu_0 + \sum D_s \cos s\delta + \sum D'_s \cos s\delta', \quad (1)$$

где ν_0 частота невозмущенного карбонильного колебания, δ и δ' – фазовые углы, на которые отличаются колебания соседних карбонильных групп по цепи и через водородную связь; D_s и D'_s –

коэффициенты взаимодействия колебаний по цепи внутри молекулы и между молекулами соответственно. В общем случае, природа коэффициентов взаимодействия не определена. В работах [8, 9] коэффициент D_s определяется резонансным взаимодействием двух типов: кинематическим, связанным с передачей колебательных движений ближайших карбонильных групп, и динамическим взаимодействием электрических колебательных моментов переходов. По различным оценкам частотный сдвиг, обусловленный взаимодействием первого типа, для пептидных структур составляет несколько обратных сантиметров [1, 10], следовательно, этот тип взаимодействия не оказывает существенного влияния на частоту карбонильного колебания. В то же время, частотный сдвиг, вызванный взаимодействием второго типа, рассматриваемый в рамках теории молекулярных экситонов для полипептидов, белков [1] и нуклеиновых кислот [11], для карбонильных колебаний оказался преобладающим.

Целью настоящей работы явилось проведение расчета динамического резонансного взаимодействия и определение его вклада в частоты карбонильных колебаний C_1O_1 , C_2O_2 и C_3O_3 модельных коллагеновых структур. Учет этого типа взаимодействия позволил оценить частотные сдвиги карбонильных колебаний за счет установления водородных связей с молекулами воды. Эти данные и привлечение значений энергий перехода спираль-клубок, полученных калориметрически, позволили, как и в случае с нуклеиновыми кислотами [12], определить вклад энергий водородных связей с водой в общую энергию стабилизации трехспиральной структуры коллагенового типа.

МАТЕРИАЛЫ И МЕТОДЫ

Теоретической основой расчета резонансных взаимодействий является теория молекулярных экситонов [13]. Энергия колебательного экситонного возбуждения в первом порядке теории возмущений равна

$$\Delta E_0^f = \Delta E_0 + D + \varepsilon_{pes}^f, \quad (2)$$

где ΔE_0 - энергия возбуждения колебательной группы в изолированной молекуле, D - разность колебательной энергии взаимодействия возбужденной и нормальной колебательных групп со всеми остальными группами в молекуле; ε_{pes}^f - энергия резонансного взаимодействия для колебания с типом симметрии f . Если положить, что частота невозмущенного колебания

$$\nu_0 = \frac{1}{h}(\Delta E_0 + D), \quad (3)$$

то, в соответствии с уравнением (2) частота перехода равна

$$\nu^f = \nu_0 + \frac{1}{h}\varepsilon_{pes}^f, \quad (4)$$

где h - постоянная Планка, равная $6,62 \times 10^{-34}$ эрг·с. В диполь-дипольном приближении резонансный сдвиг частоты карбонильных колебаний выражается формулой [14]

$$\Delta\nu_{pes} = \frac{1}{h} \sum_{nm} C_\alpha^f C_\beta^f \nu_{n\alpha,m\beta}, \quad (5)$$

где C_α^f и C_β^f - коэффициенты симметрии для колебания с типом симметрии f ; m, n - числа, которые нумеруют элементарные ячейки; α, β - числа, нумерующие карбонильные группы $C=O$ в элементарной ячейке; $\nu_{n\alpha,m\beta}$ - матричный элемент оператора диполь-дипольного взаимодействия моментов переходов, локализованных на двух карбонильных группах, который равен

$$\nu_{n\alpha,m\beta} = \frac{1}{\epsilon \bar{R}_{n\alpha,m\beta}^3} \left[\Delta \vec{\mu}_{n\alpha} \Delta \vec{\mu}_{m\beta} - \frac{3(\Delta \vec{\mu}_{n\alpha} \bar{R}_{n\alpha,m\beta})(\Delta \vec{\mu}_{m\beta} \bar{R}_{n\alpha,m\beta})}{\bar{R}_{n\alpha,m\beta}^2} \right], \quad (6)$$

где $\Delta \vec{\mu}_{n\alpha}$ и $\Delta \vec{\mu}_{m\beta}$ - векторы дипольных моментов переходов, $\bar{R}_{n\alpha,m\beta}$ - вектор, направленный от центра диполя $n\alpha$ к диполю $m\beta$, ϵ - эффективная диэлектрическая проницаемость.

Расчет резонансных сдвигов карбонильных колебаний в диполь-дипольном приближении был выполнен на примере модельного коллагенового политрипептида $[(Pro-Pro-Gly)_{10}]_3$, кристаллическая структура которого недавно установлена с помощью синхротронного излучения [15]. В элементарной ячейке, размером $a=26,9$ Å, $b=26,4$ Å, $c=182,5$ Å, располагаются две трехспиральные молекулы и 352 молекулы воды. Каждая трехспиральная молекула имеет форму прута длиной около 90 Å, диаметром

10 Å и скелетом из трех спиральных цепей, аминокислотные остатки которых свинуты и повернуты относительно друг друга. Тип симметрии одиночной полипептидной цепи, закрученной в левую спираль, 7_1 , угол вращения аминокислотных остатков относительно друг друга составляет $51,5^\circ (\pm 2^\circ)$.

На рис. 2 схематично изображена структура данного полиглицилпептида и показаны межпептидные водородные связи между соседними цепями и водородные связи с молекулами воды.

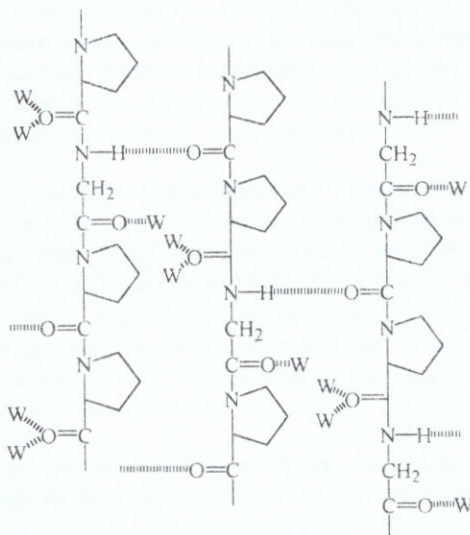


Рис. 2. Структура водородных связей в полиглицилпептиде $[(\text{Pro-Pro-Gly})_{10}]_3$.

В уравнении (5) предполагается суммирование частотных сдвигов, возникающих вследствие взаимодействия моментов переходов карбонильных колебаний внутри молекулы ($\Delta\nu_{pez}^{\alpha}$) и между молекулами ($\Delta\nu_{pez}^M$), находящимися в элементарной ячейке. Поскольку размеры элементарной ячейки модельного соединения $[(\text{Pro-Pro-Gly})_{10}]_3$ достаточно велики, и оператор диполь-дипольного межмолекулярного взаимодействия в уравнениях (5) и (6) имеет малую величину ($\nu_{\alpha,m\beta} \approx \frac{1}{R^3}$), то расчет частотных смещений достаточно проводить для карбонильных колебаний внутри трехспиральной молекулы, которую можно трактовать как кристалл. Поэтому третьим членом в уравнении (1) в данном случае можно пренебречь.

Для неограниченной спирали активными являются полносимметричное колебание (поляризованное вдоль оси спирали) типа А и дважды вырожденное типа Е (поляризованное перпендикулярно оси спирали) [16]. В спектре комбинационного рассеяния сильные полосы соответствуют колебаниям типа А, а в инфракрасных спектрах – колебаниям типа Е. С учетом резонансного взаимодействия карбонильных колебаний частота полосы с параллельной поляризацией определяется формулой

$$\nu_A = \nu_0 + \frac{2}{h} (\nu_{11,12} + \nu_{11,13} + \dots + \nu_{11,1k}), \quad (7)$$

а частота полосы с перпендикулярной поляризацией – формулой [12]:

$$\nu_E = \nu_0 + \frac{2}{h} (\nu_{11,12} \cos \varphi + \nu_{11,13} \cos 2\varphi + \dots + \nu_{11,1k} \cos k\varphi), \quad (8)$$

где k -число карбонильных групп в спиральной молекуле, φ - угол вращения карбонильных групп аминокислотных остатков относительно друг друга.

Невозмущенная частота ν_0 , согласно уравнению (3), определяется колебанием карбонильной группы в изолированной молекуле с учетом взаимодействия с окружением. В случае с молекулой $[(\text{Pro-Pro-Gly})_{10}]_3$ частота ν_0 может быть представлена в виде:

$$\nu_0 = \nu_{uzo} - \Delta\nu_{H-cw}, \quad (9)$$

где ν_{uzo} – частота карбонильного колебания в изолированном состоянии молекулы, в частности в нейтральных растворителях, где отсутствует водородная связь, $\Delta\nu_{H-cw}$ – сдвиг частоты карбонильного колебания за счет водородной связи. Резонансный сдвиг карбонильных колебаний типов А и Е (5) рассчитывался внутри спиральной цепочки ($\Delta\nu_{pez}^{\alpha A}$, $\Delta\nu_{pez}^{\alpha E}$) и между спиральными цепочками ($\Delta\nu_{pez}^{M A}$, $\Delta\nu_{pez}^{M E}$) для ближайших карбонильных групп молекулы $[(\text{Pro-Pro-Gly})_{10}]_3$. С учетом межцепочных резонансных взаимодействий и водородных связей, частота полос, поляризованных параллельно (7) и перпендикулярно (8), может быть записана так:

$$\nu_A = \nu_{uzo} - \Delta\nu_{H-cw} \pm \sum_1^k (\Delta\nu_{pez}^{\alpha A} + \Delta\nu_{pez}^{M A}), \quad (10)$$

$$\nu_E = \nu_{uzo} - \Delta\nu_{H-cw} \pm \sum_1^k (\Delta\nu_{pez}^{\alpha E} + \Delta\nu_{pez}^{M E}), \quad (11)$$

Резонансное частотное расщепление определяется так: $\Delta\nu = \nu_A - \nu_E$.

Для расчета резонансных сдвигов карбонильных колебаний C_1O_1 глицина, C_2O_2 и C_3O_3 пролина использованы координаты атомов углерода и кислорода кристаллической структуры трехспиральной коллагеновой модели $[(Pro-Pro-Gly)_{10}]_3$ [15]. Поскольку карбонильные колебания Амид I обладают высокой характеристичностью для всех пептидных структур, то центры диполей перехода можно локализовать в общей точке, которая находится на расстоянии 0,4 Å от атома кислорода в направлении O→N [1] (рис. 3).

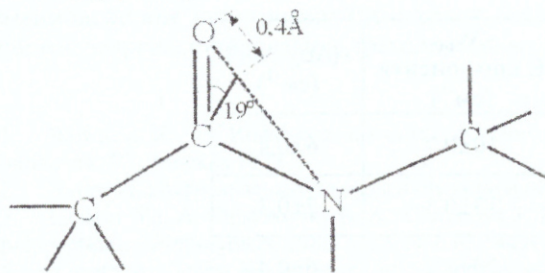


Рис. 3. Локализация центра электрического дипольного момента перехода колебания C=O – связи в полипептидной структуре [9].

Величины дипольных моментов переходов для связей C_1O_1 , C_2O_2 и C_3O_3 приняты равными 0,3 D, исходя из значения абсолютной интенсивности полосы поглощения Амид I $4,1 \cdot 10^4 \text{ л} \cdot \text{моль}^{-1} \text{ см}^{-2}$ [6]. По данным спектроскопии с использованием поляризованного ИК-излучения [2] известно, что вектор момента перехода карбонильного колебания лежит в плоскости пептидной группы и отклонен от направления связи C=O на угол 19°, что было учтено в расчетах (рис. 3). Эффективное значение диэлектрической постоянной ϵ принималось равным 2, поскольку $\epsilon \approx n^2$, где n – показатель преломления и $n \approx 1,5$ [1].

РЕЗУЛЬТАТЫ И ОБСУЖДЕНИЕ

Расчет резонансных взаимодействий карбонильных колебаний C_1O_1 , C_2O_2 и C_3O_3 производился с учетом карбонильных групп, принадлежащих двум ближайшим аминокислотным остаткам вверх и вниз по цепи и карбонильных групп ближайших аминокислотных остатков соседних цепей (рис. 4). Найдено, что полное насыщение эффектов взаимодействия происходит при $R \geq 8 \text{ \AA}$. На рис. 4 показаны усредненные по всем глициновым и пролиновым карбонильным колебаниям резонансные сдвиги в cm^{-1} для дважды вырожденного колебания типа E.

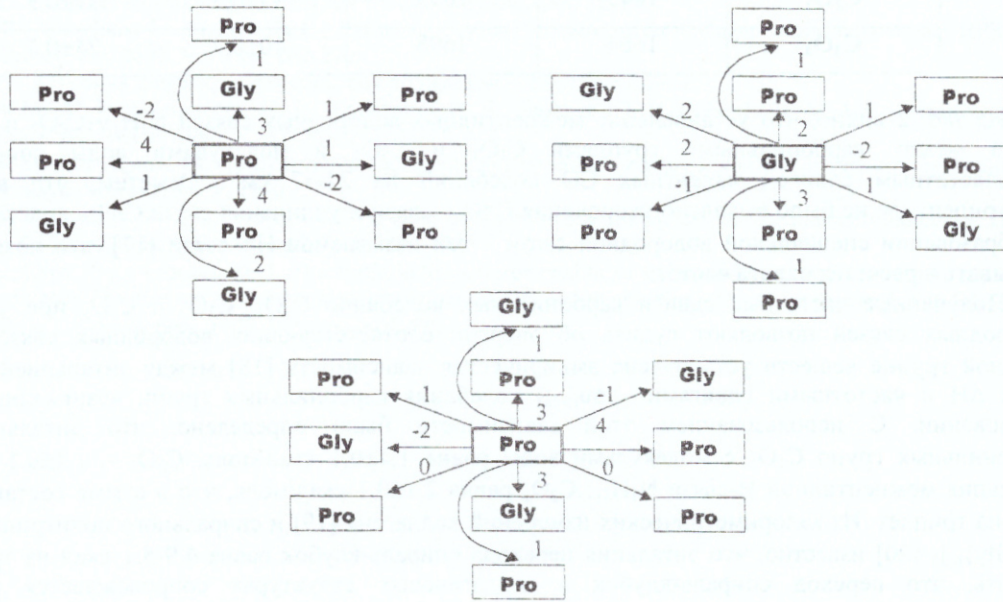


Рис.4. Усредненные резонансные сдвиги карбонильного колебания типа E (cm^{-1}).

В таб. 1 приведены суммарные частотные сдвиги и расщепления, обусловленные резонансными взаимодействиями карбонильных колебаний. Из таб. 1 видно, что частотные сдвиги, обусловленные

резонансным взаимодействием карбонильных колебаний, по абсолютной величине существенны и их необходимо учитывать при расчете частот карбонильных колебаний для коллагеновых структур.

Таб. 1. Резонансные сдвиги и расщепление частот карбонильных колебаний C_1O_1 , C_2O_2 и C_3O_3 полиглицилопролиля $[(Pro-Pro-Gly)_{10}]_3$. Рассчитанные для каждого из карбонилов C_nO_n полиглицилопролиля $[(Pro-Pro-Gly)_{10}]_3$ значения резонансных сдвигов и расщеплений усреднены для карбонилов трех типов. Среднее значение \pm стандартное отклонение.

Колебательная группа	$-\Delta\nu_{\text{рез}}$ A компонента (cm^{-1})	$-\Delta\nu_{\text{рез}}$ E компонента (cm^{-1})	$-(\Delta\nu_A - \Delta\nu_E)$ (cm^{-1})
C_1O_1	$16 \pm 1,2$	$10 \pm 0,7$	$6 \pm 0,4$
C_2O_2	$20 \pm 0,9$	$13 \pm 0,5$	$7 \pm 0,3$
C_3O_3	$16 \pm 1,1$	$10 \pm 0,7$	$6 \pm 0,4$

В нейтральных растворителях (четыреххлористый углерод, диоксан и др.) частоты карбонильных колебаний для C_1O_1 равны 1660 - 1665 cm^{-1} , для C_2O_2 - 1693 cm^{-1} и для C_3O_3 - 1698 cm^{-1} [6]. Используя эти данные, а также полученные сдвиги частот, вызванные резонансными взаимодействиями (таб. 1), из формулы (9) получаем частотные сдвиги за счет образования межпептидной H-связи $N_1H_1...C_2O_2$ и H-связей C_1O_1 и C_3O_3 с молекулами воды (таб. 2).

Таб. 2. Частоты карбонильных колебаний C_1O_1 , C_2O_2 и C_3O_3 – групп полиглицилопролиля $Z-(Gly-Pro-Pro)_8-OMe$ в условиях 100% относительной влажности в D_2O , в нейтральных растворителях [6], рассчитанные частотные сдвиги за счет резонансных взаимодействий и водородных связей. Рассчитанные для каждого из карбонилов C_nO_n полиглицилопролиля $[(Pro-Pro-Gly)_{10}]_3$ значения резонансных сдвигов и расщеплений усреднены для карбонилов трех типов. Среднее значение \pm стандартное отклонение.

Колебательная группы	$\nu (\text{cm}^{-1})$ эксперимент.	$\nu_{\text{изо}} (\text{cm}^{-1})$ эксперимент.	$-\Delta\nu_{\text{рез}} (\text{cm}^{-1})$ E компонента	$-\Delta\nu_{\text{H-св}} (\text{cm}^{-1})$
C_1O_1	1626	1660	$10 \pm 0,7$	$24 \pm 0,7$
C_2O_2	1643	1693	$13 \pm 0,5$	$37 \pm 0,5$
C_3O_3	1664	1698	$10 \pm 0,7$	$24 \pm 0,7$

Из таб. 2 видно, что установление межпептидных водородных связей $N_1H_1...C_2O_2$ и водородных связей между карбонильными группами C_1O_1 и C_3O_3 и молекулами воды сопровождаются низкочастотным сдвигом валентных CO колебаний на 24 - 37 cm^{-1} . Отметим, что в изучаемом полиглицилопролиля не было выявлено укорочения $C=O$ – связи и удлинения связи C-N, свидетельствующие об образовании специальной водородной связи – так называемой Hπ–связи [17], что позволило ее не учитывать в расчетах сдвига частот.

Полученные частотные сдвиги карбонильных колебаний C_1O_1 , C_2O_2 и C_3O_3 при установлении водородных связей позволяют судить об энергии соответствующих водородных связей. Ранее на большой группе веществ установлена эмпирическая зависимость [18] между энталпийей водородной связи ΔH и частотными сдвигами ($\Delta\nu_{\text{H-св}}$) колебания карбонильных групп, возникающими при ее образовании. С использованием этой зависимости было определено, что энталпия H-связи карбонильных групп C_1O_1 с молекулами воды равна $1,4 \pm 0,1$ ккал/моль, C_3O_3 – $1,4 \pm 0,1$ ккал/моль и энталпия межпептидной H-связи $N_1H_1...C_2O_2$ равна $2,1 \pm 0,1$ ккал/моль, что в сумме составляет $4,9 \pm 0,3$ ккал на триплет. Из калориметрических измерений коллагена [19] и спирального полиглицилопролиля $[(Pro-Pro-Gly)_{10}]_3$ [20] известно, что энталпия перехода спираль-клубок равна $4,9$ - $5,1$ ккал на триплет. Если считать, что переход спираль-клубок в коллагеновых структурах сопровождается разрушением межпептидной H-связи и гидратной оболочки, то вклад в общую энергию стабилизации трехспиральных коллагеновых структур составляет: для энергии межпептидных водородных связей около 40%, для энергии H-связей C_1O_1 и C_3O_3 – групп с молекулами воды – до 50% и энергии других возможных типов взаимодействия – до 10%. Отметим, что вклад энергии взаимодействия молекулы полиглицилопролиля с молекулами воды наружных слоев гидратной оболочки в общую энергию стабилизации в данной работе

не учитывался, поэтому вклад энергии взаимодействия политрипептида со всей гидратной оболочкой в общую энергию стабилизации может возрасти.

ВЫВОДЫ

Таким образом, рассмотренные резонансные взаимодействия моментов переходов карбонильных колебаний в коллагеновой структуре $[(\text{Pro-Pro-Gly})_{10}]_3$ существенно смещают частоты валентных колебаний C=O – связей остатков глицина и пролина. Учет этого взаимодействия представил возможность определить смещение частот карбонильных колебаний за счет установления межпептидных водородных связей и H-связей с молекулами воды. Это позволило оценить вклад энергий взаимодействия политрипептида с водой, межпептидных H-связей и других типов взаимодействия в общую энергию стабилизации трехспиральных структур коллагенового типа.

ЛИТЕРАТУРА

1. Чиргадзе Ю. Н. Инфракрасная спектроскопия полимеров и белков. //Итоги науки и техники. Молекулярная биология. Т.1. Москва 1973.
2. Элиот А. Инфракрасные спектры и структура полимеров. - М.: Мир, 1972.
3. Lazarev Yu. A., Chishkovsky B. A., Chromova T. B. Amid I band of IR spectrum and structure of collagen and related polypeptides. //Biopolymers, 1985. V.24. N.7. pp.1449-1478.
4. Yonath A., Traub W. Polymers of tripeptides as collagen models IV. Structure analysis of poly (L-prolyl-glycyl-L-prolyne). //J. Molecular Biol. 1969. V.43. N.3. pp. 461-477.
5. Okuyama K., Arnott S., et al. Crystal and molecular structure of a collagen-like polypeptide (pro-pro-gly)₁₀. //J. Mol. Biol., 1981. V.152. N.2. pp. 427-443.
6. Лазарев Ю. А. Структурообразование спирали коллагенового типа в синтетических олиго- и политрипептидах. Дис. док. физ.-мат. Наук, Москва, МГУ, 1987.
7. Miyazawa T., J. Perturbation treatment of the characteristic vibrations of polypeptide chains in various configurations//J. Chem. Phys. 1960. V.32. pp. 1647-1652.
8. Krimm S and Abe Y. Intermolecular interaction effects in the Amide I vibrations of β polypeptides. Proc. //Nat. Acad. Sci. USA. 1972. V.69. N.10. pp. 2788-2792.
9. Чиргадзе Ю. Н. Невская Н. А. Резонансные взаимодействия основных амидных колебаний в упорядоченных пептидных структурах. //Докл. АН СССР. 1973. Т.208. №2. с. 447-450.
10. Fukushima K., Jdeguchi Y., Miyazawa T. The normal vibrations of polyglycine I//Bull. Chem. Soc. Japan. 1963. 36. p. 1301-1307.
11. Semenov M. A., Bolbuch T. V. Carbonyl vibration resonance interactions helical polynucleotides Poly(dA)-Poly(dT) and PolyG-PolyC. //Studia biophysica. 1984. V.102. N.3. pp. 215-220.
12. Semenov M. A., Bereznjak E. G. Hydration and stability of nucleic acids in the condensed state. //Comments Mol. Cel. Biophys, 2000. V.10. N.1. pp. 1–23.
13. Давыдов А. С. Теория поглощения света в молекулярных кристаллах. - Киев, изд-во АН УССР, 1951.
14. Семенов М. А., Больбух Т. В. Резонансные взаимодействия карбонильных колебаний в спиральных полипептидах. Репринт № 190, изд-во ИРЭ АН УССР. Харьков, 1982, с. 28.
15. Berisio R., Vitagliano L., Mazzarella L., Zagari A. Crystal structure of the collagen triple helix model $[(\text{PRO-PRO-GLY})_{10}]_3$. //Protein Sci. 2002. V.11. pp. 262-270.
16. Грибов Л. А. Теория инфракрасных спектров полимеров. – М.: Наука, 1977.
17. Башаров М. А., Волькенштейн М. В., Голованов И. Б., Лазарев Ю. Н. Соболев В. М. Нп – связи в амидах и пептидах. //Докл. АН СССР. 1986. Т.287. №1. с. 211-215.
18. Семенов М. А. Гидратация и структурное состояние нуклеиновых кислот в конденсированном состоянии. Дис. док. физ.-мат. наук. Москва, МГУ, 1990.
19. Gasan A. I., Maleev V. Ya., Semenov M. A. Role of water in stabilizing the helical biomacromolecules DNA and collagen. //Studia Biophysica. 1990. V.136(2-3). pp. 171-178.
20. Engel J., Chen H-T., Prockop D. J. The triple helix-coil conversion of collagen-like polytripeptides in aqueous and nonaqueous solvents. Comparison of the thermodynamic parameters and the binding of water to $(\text{L-Pro-L-Pro-Gly})_n$ and $(\text{L-Pro-L-Hyp-Gly})_n$. //Biopolymers. 1977. V.16. pp. 601-622.